

اثر شکل نانوذرات بر یک سیستم فتوولتایک/حرارتی نانویالی دارای متمنکرنده سهمی خطي*

فریده یزدانی فرد^(۱) احسان ابراهیم‌نیا بجستان^(۲) مهران عامری^(۳)

چکیده در این پژوهش، یک سیستم فتوولتایک/حرارتی با متمنکرنده سهمی - خطی شبیه‌سازی شده و اثر استفاده از نانویال اکسید آلمینیوم/اتیلن گلیکول: آب ۵۰:۵۰ دارای نانوذرات مختلف پلاکتی، استوانه‌ای، تیغه‌ای و آجری شکل بر کارایی این سیستم از دیدگاه انرژی و اگزرژی در دو جریان آرام و مغشوش بررسی شده است. مدل پیشنهادشده با استفاده از نتایج آزمایشگاهی موجود اعتبارسنجی شده است و تطابق مناسبی بین نتایج مشاهده گردیده است. با توجه به نتایج، استفاده از نانویال با نانوذرات استوانه‌ای شکل در جریان آرام و نانوذرات آجری شکل در جریان آرام مغشوش منجر به حداکثر بازده سیستم می‌گردد. به علاوه، استفاده از نانویال در جریان آرام نسبت به جریان مغشوش برای بهبود عملکرد سیستم فتوولتایک/حرارتی مؤثرتر است.

واژه‌های کلیدی سیستم فتوولتایک/حرارتی، شکل نانوذرات، نانویال، جریان آرام، جریان مغشوش.

Nanoparticle Shape Effect on a Nanofluid-Based Parabolic Trough Concentrating Photovoltaic/Thermal System

F. Yazdanifard

E. Ebrahimnia-Bajestan

M. Ameri

Abstract In this study, a linear parabolic trough concentrating photovoltaic/thermal system has been simulated and the effects of using $Al_2O_3/ethylene\ glycol$ -water 50:50 nanofluid with different nanoparticle shapes including platelet, cylindrical, blade and brick shapes from energy and exergy standpoints in the laminar and turbulent regimes have been numerically investigated. The proposed model has been validated using existing experimental results where good agreement was observed. The results indicated that using nanoparticles of cylindrical shape in laminar regime and brick-shaped one in turbulent regime lead to the best system performance compared to others. In addition, applying nanofluid in laminar regime is more effective compared to turbulent regime.

Key Words Photovoltaic/Thermal system, Nanoparticles shape, Nanofluid, Laminar flow, Turbulent flow

*تاریخ دریافت مقاله ۹۵/۱۱/۸ و تاریخ پذیرش آن ۹۶/۴/۱۸ می‌باشد.

(۱) دانشجوی دکتری، مهندسی مکانیک، دانشگاه شهید باهنر، کرمان.

(۲) نویسنده مسئول: استادیار، گروه مهندسی مکانیک، دانشگاه صنعتی قوچان، e.ebrahimnia@qiet.ac.ir

(۳) استاد، مهندسی مکانیک، دانشگاه شهید باهنر، کرمان.

مقدمه

حرارتی با مرکزکننده سهموی خطی صورت گرفته است. کاونتری [6] در سال ۲۰۰۵ به صورت آزمایشگاهی یک سیستم فتوولتاییک / حرارتی را با مرکزکننده سهموی خطی و نسبت تمرکز ۳۷ مورد بررسی قرار داد. بازده حرارتی و الکتریکی این سیستم به ترتیب ۵۸ و ۱۱ درصد به دست آمد. لی و همکارانش [7, 8] در سال ۲۰۱۱ عملکرد سیستم‌های فتوولتاییک / حرارتی را با چند نوع مرکزکننده سهموی خطی به صورت آزمایشگاهی و عددی بررسی کردند. طبق نتایج آنها سلول‌های فتوولتاییک سیلیکونی برای نسبت‌های مرکز کم و متوسط و سلول‌های گالیوم آرسنید برای نسبت‌های مرکز زیاد عملکرد مناسبی دارند. جی و همکاران [9] در سال ۲۰۱۲ یک سیستم فتوولتاییک / حرارتی سهموی خطی را به صورت عددی و آزمایشگاهی بررسی کردند. طبق بررسی آنها عملکرد سیستم با افزایش ضریب انعکاس مرکزکننده افزایش می‌یابد. کالیسه و همکاران [10] در سال ۲۰۱۲ یک مدل حجم محدود را برای سیستم فتوولتاییک / حرارتی با مرکزکننده سهموی خطی و دریافت‌کننده سه‌وجهی با دو وجه شامل سلول‌های فتوولتاییک تک‌كريستالی و یک وجه شامل جاذب حرارتی که لوله سیال خنک‌کننده داخل این سه‌وجهی جریان دارد ارائه کردند. نتایج آنها نشان داد که انتخاب دبی جرمی مناسب برای عملکرد مناسب سیستم بسیار مهم است. چابان و همکاران [11] در سال ۲۰۱۳ یک سیستم فتوولتاییک و یک سیستم فتوولتاییک / حرارتی با مرکزکننده سهموی خطی را در شرایط آب و هوایی خاص به صورت آزمایشگاهی و عددی مورد مقایسه قرار دادند. نتایج آنها نشان داد که سیستم فتوولتاییک / حرارتی بازده الکتریکی بیشتری نسبت به سیستم فتوولتاییک تنها دارد. دل کول و همکاران [12] در سال ۲۰۱۴ عملکرد الکتریکی یک سیستم فتوولتاییک /

سوخت‌های فسیلی منبع تولید ۹۹٪ انرژی در ایران هستند و کمتر از ۱٪ انرژی از طریق منابع تجدیدپذیر تأمین می‌شود [1]. از طرف دیگر، منابع نفت و گاز جهان محدود است و عمر این منابع نیز کوتاه پیش‌بینی شده است [2]. همچنین، بحث آلاندگی سوخت‌های فسیلی که به یکی از بحران‌های جدی کلان‌شهرهای ایران تبدیل شده است، نشان‌دهنده اهمیت استفاده از روش‌های جایگزین تولید انرژی، از جمله منابع تولید انرژی تجدیدپذیر است. در ایران انرژی خورشیدی بیشترین پتانسیل را برای تولید انرژی بین سایر انرژی‌های تجدیدپذیر دارد و میزان تابش دریافتی در ایران عالی تخمین زده شده است [1]. بنابراین، استفاده از سیستم‌های خورشیدی مانند سیستم‌های فتوولتاییک / حرارتی می‌تواند بخشی از نیاز انرژی را به‌ویژه در بخش خانگی پاسخ‌گو باشد.

سیستم‌های فتوولتاییک / حرارتی بر حسب ساختار یا عملکرد به دسته‌های مختلفی تقسیم‌بندی می‌شوند [3]. یکی از این انواع، سیستم‌های فتوولتاییک / حرارتی در ترکیب با مرکزکننده‌های تابش خورشیدی هستند که به دلیل مرکز تابش قادر به تولید میزان بیشتر الکتریسیته نسبت به سطح فتوولتاییک و تولید انرژی حرارتی با کیفیت بالاتر می‌باشند [4]. در این راستا، استفاده از عدسی‌های فرنل، مرکزکننده‌های سهموی، سهموی ترکیبی و هذلولوی برای مرکز تابش در سیستم‌های فتوولتاییک / حرارتی مورد بررسی قرار گرفته‌اند [5]. در این بین مرکزکننده‌های سهموی شناخته‌شده‌ترین مرکزکننده‌ها به‌سبب نصب نسبتاً آسان و قیمت پایین هستند. در این مرکزکننده‌ها یک آینه سهموی شکل نور خورشید را بر روی دریافت‌کننده واقع در نقطه کانونی یا خط کانونی مرکز می‌کند. تحقیقات متعددی در زمینه سیستم‌های فتوولتاییک /

می‌یابد. کرمی و رحیمی [17] در سال ۲۰۱۴ یک سیستم ترکیبی شامل سیستم خنک‌کننده میکروکانال، سیستم فتوولتاییک / حرارتی و نانوسيال بوهمیت / آب را طراحی کردند. براساس نتایج آنها با کاهش کسر حجمی نانوزرات دمای متوسط سطح فتوولتاییک کاهش و بازده الکتریکی افزایش می‌یابد. سردار آبادی و همکاران [18] در سال ۲۰۱۶ به صورت عددی و آزمایشگاهی استفاده از نانوسيال اکسید تیتانیوم / آب، اکسید آلومینیوم / آب و اکسید روی / آب را در سیستم فتوولتاییک / حرارتی صفحه و لوله بررسی کردند. طبق نتایج آنها بیشترین بازده الکتریکی مربوط به نانوسيال اکسید تیتانیوم / آب بود. رجب و همکاران [19] در سال ۲۰۱۶ استفاده از نانوسيال با دوسیال پایه آب و اتیلن گلیکول را در سیستم فتوولتاییک / حرارتی صفحه و لوله بررسی کردند. نتایج ایشان نشان داد که نانوسيال با سیال پایه آب کارآمدتر است.

مطالعات اندکی نیز در زمینه استفاده از نانوسيالات به عنوان سیال خنک‌کننده در سیستم‌های فتوولتاییک / حرارتی داری متمنکزکننده وجود دارد. زو و کلینستریبور [20] در سال ۲۰۱۴ با مدل‌سازی دو بعدی و استفاده از یک مدل جدید برای هدایت حرارتی نانوسيالات، تأثیر استفاده از نانوسيالات را بر بهبود بازده سیستم فتوولتاییک / حرارتی با متمنکرکننده مورد بررسی قرار دادند. بررسی آنها نشان داد که استفاده از نانوسيال بازده الکتریکی و کلی سیستم را بهبود می‌بخشد، در حالی که بر بازده حرارتی تأثیر اندکی دارد. زو و کلینستریبور در مقاله دیگری [21] در سال ۲۰۱۴ تأثیر استفاده از نانوسيال اکسید آلومینیوم / آب را بر خنک‌کنندگی یک سیستم فتوولتاییک / حرارتی با متمنکرکننده سهموی خطی و نسبت مرکز بالا به صورت عددی بررسی کردند. نتایج آنها نشان داد که افزایش کسر حجمی نانوسيال و کاهش دمای ورودی آن منجر به بهبود عملکرد سلول‌های فتوولتاییک

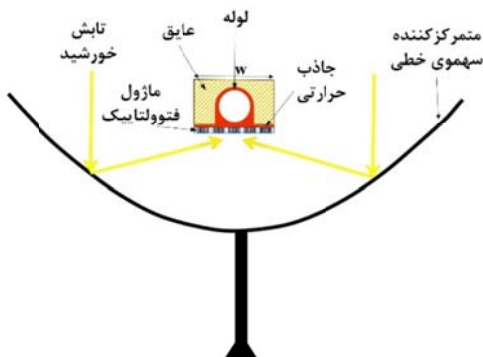
حرارتی سهموی خطی با نسبت مرکز ۱۳۰ را به صورت آزمایشگاهی و عددی بررسی نمودند. طبق بررسی آنها افزایش دمای عملکرد سیستم تأثیر کمی بر بازده الکتریکی دارد و می‌توان برای دستیابی به حرارت خروجی با دمای مناسب، دمای کارکرد سیستم را افزایش داد.

یکی از روش‌های افزایش بهره‌وری سیستم‌های انرژی خورشیدی استفاده از نانوسيالات است که توجه محققان بسیاری را به خود معطوف داشته است [13]. نانوسيال حاصل تعليق ذرات با اندازه نانو (کمتر از ۱۰۰ نانومتر) در سیالات متداول است، که خصوصیات انتقال حرارتی بهتری نسبت سیال پایه را از خود بروز می‌دهد. با این وجود، تحقیقات کمی در زمینه استفاده از نانوسيالات در سیستم‌های فتوولتاییک / حرارتی انجام شده است. ماهیان و همکاران [14] در سال ۲۰۱۳ میزان تولید انتروپی در جریان نانوسيال با هندسه‌های مختلف را به صورت عددی بررسی کردند. طبق بررسی آنها با انتخاب رژیم جریان، اندازه کانال و کسر حجمی مناسب می‌توان میزان تولید انتروپی را کاهش داد. کوی و زو [15] در سال ۲۰۱۲ استفاده از جریان نانوسيال اکسید منیزیم / آب را بر روی پانل‌های فتوولتاییک سیلیکونی به صورت آزمایشگاهی مورد بررسی قرار دادند. نتایج آنها نشان داد که راندمان الکتریکی سیستم فتوولتاییک / حرارتی کمتر از مازول فتوولتاییک است، اما راندمان انرژی کلی آن بالاتر است. سردار آبادی و همکاران [16] در سال ۲۰۱۴ تأثیر استفاده از نانوسيال اکسید سیلیسیم / آب را به عنوان سیال خنک‌کننده بر بازده الکتریکی و حرارتی یک سیستم فتوولتاییک / حرارتی به صورت آزمایشگاهی بررسی کردند. آنها نشان دادند که با استفاده از نانوسيال و افزایش کسر حجمی ذرات، بازده انرژی و اگزرسی در مقایسه با سیستم فتوولتاییک بدون گردافرنده حرارتی افزایش

سیستم، المان دیفرانسیلی به طول dx و عرض w درنظر گرفته می‌شود. فرضیات مورد استفاده برای نوشتن معادلات انرژی عبارتند از انتقال حرارت پایا و یک بعدی، ثابت درنظر گرفتن خواص ترموفیزیکی همه اجزای سیستم فتوولتاییک/حرارتی، چشمپوشی از ظرفیت گرمایی ویژه همه اجزا به جز نانوسیال درون لوله‌ها به دلیل ناچیز بودن آن در مقابل ظرفیت گرمایی نانوسیال. با این فرضیات معادلات انرژی برای هر یک از اجزا در جدول (۱) ارائه شده است.

در این پژوهش، برای شبیه‌سازی از نرم‌افزار متلب و برای حل معادلات موازنۀ انرژی از روش رانگ کوتا مرتبۀ چهار استفاده شده است. روابط استفاده شده برای خواص نانوسیالات در جدول (۲) ارائه شده است. سیال پایه مورد استفاده، مخلوط آب: اتیلن گلیکول با نسبت ۵۰:۵۰ است که دارای نانوذرات اکسید آلومینیوم می‌باشد.

شکل (۲) بیانگر شکل‌های مختلف نانوذرات اکسید آلومینیوم مورد استفاده در مطالعه حاضر است. ثوابت A_1 و A_2 در رابطه ویسکوزیته و ثابت C_k در رابطه رسانایی حرارتی برای شکل‌های مختلف نانوذرات اکسید آلومینیوم در جدول (۳) ارائه شده است.



شکل ۱ سیستم فتوولتاییک/حرارتی با متمرکزکننده سهموی خطی

می‌شود. جینگ و همکاران [۲۲] در سال ۲۰۱۵ به صورت آزمایشگاهی نانوسیال سیلیکا/آب را طی فرایندی تک مرحله‌ای ساختند و استفاده از آن را در سیستم فتوولتاییک/حرارتی با متمرکزکننده پیشنهادی خود به صورت عددی مورد مطالعه فرار دادند. آنها سعی کردند که دبی جرمی و نسبت تمرکز بهینه را برای دستیابی به بهترین عملکرد سیستم از دیدگاه اگررژی به دست آورند. ردون و همکاران [۲۳] در سال ۲۰۱۶ به صورت عددی استفاده از نانوسیال اکسید آلومینیوم/آب و کاربید سیلیسیم/آب را در سیستم فتوولتاییک/حرارتی با متمرکزکننده مطالعه کردند. نتایج ایشان نشان داد که استفاده از نانوسیال در نسبت‌های تمرکز زیاد و اعداد رینولدز کم منجر به بیشترین بازده الکتریکی می‌شود. به علاوه، استفاده از کاربید سیلیسیم/آب دمای فتوولتاییک را در مقایسه با اکسید آلومینیوم/آب کاهش بیشتری می‌دهد.

در بین کارهایی که تاکنون صورت گرفته است عملکرد سیستم فتوولتاییک/حرارتی با متمرکزکننده سهموی خطی تحت دو جریان آرام و مغشوش ارزیابی نشده است. همچنین تأثیر استفاده از نانوسیال با شکل‌های مختلف نانوذره در این سیستم‌ها مورد مطالعه قرار نگرفته است. هدف پژوهش حاضر بررسی و مقایسه تأثیر استفاده از نانوسیال با چهار شکل نانوذره پلاکتی، استوانه‌ای، تیغه‌ای و آجری شکل به عنوان سیال عامل بر عملکرد این سیستم از دیدگاه قانون اول و دوم ترمودینامیک در دو جریان آرام و مغشوش است.

مدل‌سازی

سیستم فتوولتاییک/حرارتی با متمرکزکننده سهموی خطی که در شکل (۱) نشان داده شده، برای ارائه یک مدل ریاضی مورد بررسی قرار گرفته است. برای نوشتن معادلات موازنۀ انرژی برای اجزای مختلف این

جدول ۱ معادلات موازنۀ انرژی اجزای سیستم فتوولتاییک / حرارتی [24]

معادله انرژی	جزء
$I_B C R \rho_{con} \gamma_t \alpha_{pv} \left[1 - p_a \times \eta_r \left(1 - \beta_r (T_{pv} - T_r) \right) \right] w dx$ $= (h_{r,pv-a} + h_{c,pv-s}) (T_{pv} - T_a) w dx + h_{pv-abs} (T_{pv} - T_{abs}) w dx$ $+ h_{pv-t} (T_{pv} - T_t) w dx$	پانل فتوولتاییک
$h_{pv-abs} (T_{pv} - T_{abs}) w dx = h_{abs-t} (T_{abs} - T_t) w dx + h_{abs-i} (T_{abs} - T_i) w dx$	جادب حرارتی
$h_{abs-t} (T_{abs} - T_t) w dx + h_{pv-t} (T_{pv} - T_t) w dx$ $= h_{t-w} (T_t - T_w) w dx + h_{t-i} (T_t - T_i) w dx$	لوله
$h_{abs-i} (T_{abs} - T_i) w dx + h_{t-i} (T_t - T_i) w dx = h_{i-a} (T_i - T_a) w dx$	لایه عایق
$h_{t-w} (T_t - T_w) w dx = \dot{m} C_p dT_w$	سیال خنک کن

جدول ۲ روابط استفاده شده برای خواص نانوسيالات

رابطه	مرجع	خاصیت
$\rho_{nf} = (1 - \varphi) \rho_{bf} + \varphi \rho_{np}$	[25]	چگالی
$C_{p,nf} = \frac{(1 - \varphi)(\rho C_p)_{bf} + \varphi(\rho C_p)_{np}}{\rho_{nf}}$	[26]	ظرفیت گرمایی
$\frac{\mu_{nf}}{\mu_{bf}} = 1 + A_1 \varphi + A_2 \varphi^2$	[27]	ویسکوزیته
$\frac{k_{nf}}{k_{bf}} = 1 + C_k \varphi$	[28]	رسانایی حرارتی

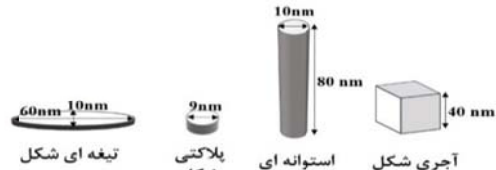
باتوجه به طول لوله، جریان داخل لوله در حالت آرام ازنظر هیدرودینامیکی توسعه یافته و ازنظر حرارتی در حال توسعه، اما در حالت جریان مغشوش از نظر هیدرودینامیکی و حرارتی توسعه یافته است. عدد ناسلت برای جریان آرام داخل لوله در حالت توسعه یافته حرارتی به شکل زیر محاسبه می شود [29]:

$$x^* = \frac{L}{Re Pr D} \quad (1)$$

$$Nu_w = \begin{cases} 1.953(x^*)^{-1/3} & x^* \leq 0.03 \\ 4.364 + \frac{0.0722}{x^*} & x^* > 0.03 \end{cases} \quad (2)$$

برای جریان مغشوش عدد ناسلت از رابطه زیر محاسبه می گردد [30]:

$$Nu_w = \frac{(f/8)(Re - 1000)Pr}{1 + 12.7(f/8)^{1/2}(Pr^{2/3} - 1)} \quad (3)$$



شکل ۲ اشكال مختلف نانوذرات اکسید آلومنیوم [27]

جدول ۳ ثابت های A_2 و A_1 در رابطه ویسکوزیته و ثابت C_k در رابطه رسانایی حرارتی برای شکل مختلف نانوذرات اکسید آلومنیوم [27, 28]

Nu نانوذره	A_2	A_1	C_k
پلاکتی	۶۱۲/۶	۳۷/۱	۲/۶۱
تیغه‌ای	۱۲۳/۳	۱۴/۶	۲/۷۴
استوانه‌ای	۹۰۴/۴	۱۳/۵	۳/۹۵
آجری شکل	۴۷۱/۴	۱/۹	۳/۳۷

تطابق بسیار مناسبی بین نتایج حاصل از مدل پیشنهادی پژوهش حاضر با دمای تجربی گزارش شده توسط جی و همکاران [9] وجود دارد.

نتایج و بحث

پس از اطمینان از صحت مدل، نتایج مدل‌سازی با توجه به اطلاعات موجود در جدول (۶) ارائه شده است. برای بررسی اثر هر یک از پارامترها، پارامتر مورد نظر تغییر داده شده و بقیه پارامترها مطابق با جدول (۶) ثابت درنظر گرفته شده‌اند.

شکل (۳) تغییرات دمای فتوولتایک و شکل (۴) تغییرات دمای خروجی نانوسيال اکسید آلومینیوم/ اتیلن گلیکول: آب ۵۰:۵۰ را برای چهار شکل نانوذره پلاکتی، استوانه‌ای، تیغه‌ای و آجری شکل در کسرهای حجمی مختلف، برای دو جریان آرام و مغوش نشان می‌دهند.

چاره‌ای جز استفاده از روابط (۲) و (۳) برای عدد ناسلت نیست، چون داده‌های مناسب یا رابطه‌ای برای عدد ناسلت تابع شکل نانوذرات وجود ندارد.

روابط مربوط به بازده انرژی و اگزرژی در جدول (۴) ارائه شده است. توان خروجی پانل فتوولتایک و توان پمپ در روابط بازده انرژی و اگزرژی الکتریکی به صورت زیر محاسبه می‌شود:

$$\dot{E}_{PV} = I_B C \rho_{con} \gamma_t \alpha_{pv} A_{PV/T} p_a \times \eta_r [1 - \beta_r (T_{pv} - T_r)] \quad (4)$$

$$P_{pump} = \frac{\dot{m} \times \rho g (L \sin \theta + h_l)}{\rho \times \eta_{pump}} \quad (5)$$

اعتبارسنجی

اعتبار سنجی حل عددی، با استفاده از نتایج تجربی موجود [9] برای یک سیستم با مساحت دهانه مؤثر آینه سه‌هموی خطی $1/95\text{m}^2$ ، نسبت مرکز $16/92$ دریافت‌کننده به ابعاد $1/5\text{m} \times 1/2\text{m} \times 0/09\text{m}$ و قطر لوله $0/03\text{m}$ انجام شده است. با توجه به جدول (۵)،

جدول ۴ روابط بازده انرژی و اگزرژی الکتریکی، حرارتی و کلی

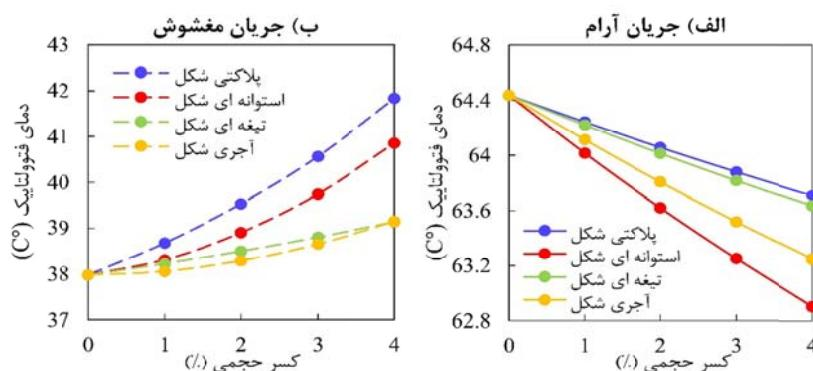
اگزرژی	انرژی	بازده
$\dot{\epsilon}_{th} = \frac{\dot{m} c_p (T_{w,out} - T_{w,in}) \left(1 - \frac{293}{293 + (T_{w,out} - T_a)} \right)}{\left[1 + \frac{1}{3} \left(\frac{T_a}{T_{sun}} \right)^4 - \frac{4T_a}{3T_{sun}} \right] I_B A_{ca}}$	$\eta_{th} = \frac{\dot{m} c_p (T_{w,out} - T_{w,in})}{I_B A_{ca}}$	حرارتی
$\dot{\epsilon}_{ele} = \frac{\dot{E}_{PV} - P_{pump}}{\left[1 + \frac{1}{3} \left(\frac{T_a}{T_{sun}} \right)^4 - \frac{4T_a}{3T_{sun}} \right] I_B A_{ca}}$	$\eta_{ele} = \frac{\dot{E}_{PV} - P_{pump}}{I_B A_{ca}}$	الکتریکی
$\dot{\epsilon}_{CPV/T} = \dot{\epsilon}_{th} + \dot{\epsilon}_{ele}$	$\eta_{CPV/T} = \eta_{th} + \eta_{ele}$	کلی

جدول ۵ نتایج حاصل از اعتبارسنجی مدل

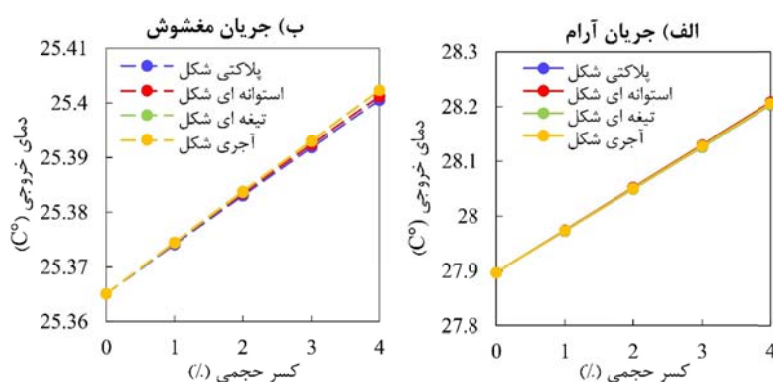
دمای فتوولتایک				دمای آب خروجی				دبی جرمی (kg.s ⁻¹)	دبی آب (°C)	دما ^ن ی آب ورودی (W.m ⁻²)	تابش مستقیم (W.m ⁻²)	نوع سلول فتوولتایک
خطا (%)	پژوهش حاضر	تجربی جی و همکاران [9]	خطا (%)	پژوهش حاضر	تجربی جی و همکاران [9]							
-۱/۸	۸۱/۷	۸۲/۲	۱/۶	۵۰/۹	۵۰/۱	۰/۰۰۵	۲۲/۶	۹۰۵/۱	سوپر	۰/۰۱۱۱	۲۴/۱	۹۵۳/۷
۸/۸	۶۲/۷	۵۷/۶	-۴/۶	۳۷/۲	۳۹/۰	۰/۰۰۵	۰/۰۰۸	۲۰/۱				
۲/۴	۶۲/۹	۶۱/۴	-۲	۳۸/۳	۳۹/۱	۰/۰۰۸	۱۹/۸	۸۹۴/۲	گالیم آرسناید	۰/۰۱۱۱	۲۴/۱	۹۰۲/۱
۳	۶۱/۲	۵۹/۴	-۲/۱	۳۷/۴	۳۸/۲	۰/۰۰۸	۰/۰۰۸	۰/۰۰۵				

جدول ۶ پارامترهای مورد نیاز برای شبیه‌سازی

جزء	پارامتر
متمنزکننده سهموی	نسبت تمرکز: ۱۵، ضریب انعکاس: ۰/۸، ضریب ممانعت: ۰/۹۵
صفحة فتوولتاییک	ضریب جذب: ۰/۹، ضریب انتشار: ۰/۹، ضریب هدایت حرارتی: $100 \text{ Wm}^{-1}\text{K}^{-1}$ ، بازده سلول مرجع: ۱۵٪
صفحة جاذب (مسی)	ضریب دمایی مرجع: 298K^{-1} ، دمای مرجع: 298K
لوله (مسی)	ضخامت: 0.003m ، ضریب هدایت حرارتی: $310 \text{ Wm}^{-1}\text{K}^{-1}$
لایه عایق	قطر داخلی: 0.03m ، ضخامت: 0.003m ، طول: 2m ، ضریب هدایت حرارتی: $0.03 \text{ Wm}^{-1}\text{K}^{-1}$
سیال درون لوله	دمای ورودی: 298K ، دمی جرمی در جریان آرام: 112kg s^{-1} ، دمی جرمی در جریان مغشوش: 1kgs^{-1}
سایر پارامترها	سرعت باد: 0.5ms^{-1} ، دمای محیط: 298K ، تابش مستقیم: 700 Wm^{-2} ، شیب کلکتور: 30° ، ضریب فشردگی: ۰/۹، بازده پمپ: ۰/۸



شکل ۳ تغییرات دمای فتوولتاییک با کسر حجمی و شکل نانوذرات متفاوت برای جریان الف: آرام، ب: مغشوش



شکل ۴ تغییرات دمای خروجی با کسر حجمی و شکل نانوذرات متفاوت برای جریان الف: آرام، ب: مغشوش

فتوولتاییک کاهش می‌یابد، اما شاهد روندی متفاوت در جریان مغشوش هستیم. برای توضیح این رفتار،

همان‌طور که از شکل (۳) مشخص است، در جریان آرام با افزایش کسر حجمی نانوذرات دمای

حرارت در جریان مغشوش باعث افزایش دمای فتوولتاییک می‌شود.

در بین شکل‌های مختلف، نوع پلاکتی، استوانه‌ای، تیغه‌ای و آجری به ترتیب بیشترین ویسکوزیته و نوع استوانه‌ای، آجری، تیغه‌ای و پلاکتی به ترتیب بیشترین رسانایی حرارتی را دارا می‌باشند. تأثیر تغییرات ویسکوزیته و رسانایی حرارتی بر اعداد رینولدز و پرانتل و درنتیجه بر ضریب انتقال حرارت به گونه‌ای است که نانوذره استوانه‌ای بیشترین ضریب انتقال حرارت را در جریان آرام دارد و پس از آن به ترتیب نانوذرات آجری، تیغه‌ای و پلاکتی قرار دارند. در جریان مغشوش، بهترین ضریب انتقال حرارت به ترتیب مربوط به نانوذرات آجری، تیغه‌ای، استوانه‌ای و پلاکتی شکل است. درنتیجه با توجه به شکل (۳)، در جریان آرام نانوذره استوانه‌ای شکل و در جریان مغشوش نانوذره آجری شکل کمترین دمای فتوولتاییک را نتیجه می‌دهند. همان‌طور که از شکل (۴) مشخص است دمای خروجی سیال در هر دو جریان آرام و مغشوش افزایش پیدا می‌کند. علت این پدیده کاهش ظرفیت حرارتی نانوسیال با افزایش کسر حجمی است. در جریان آرام، شکل‌های مختلف نانوذرات دارای دمای خروجی تقریباً یکسانی هستند. در جریان مغشوش نانوذرات تیغه‌ای و آجری شکل به دلیل ضریب انتقال حرارت بالاتر، اندکی دمای خروجی بیشتری در مقایسه با نانوذرات استوانه‌ای و پلاکتی شکل دارند.

جدول‌های (۷) و (۸) ارائه شده‌اند که تغییرات ویژگی‌های نانوسیال را در کسرهای حجمی مختلف به ترتیب برای جریان آرام و مغشوش نشان می‌دهند. با توجه به جدول‌های (۷) و (۸)، با افزایش کسر حجمی، ویسکوزیته و رسانایی حرارتی افزایش، ولی ظرفیت حرارتی کاهش پیدا می‌کند. عدد رینولدز با ویسکوزیته رابطه عکس دارد. از طرف دیگر، عدد پرانتل با ویسکوزیته نسبت مستقیم و با رسانایی حرارتی نسبت عکس دارد. از آنجایی که در نانوسیال مورد بررسی در این پژوهش میزان افزایش ویسکوزیته با کسر حجمی بیش از رسانایی حرارتی است، عدد پرانتل با افزایش کسر حجمی افزایش پیدا می‌کند. عدد ناسلت متناسب با عدد رینولدز و عدد پرانتل است. درنتیجه با کاهش بیشتر عدد رینولدز در مقابل افزایش عدد پرانتل، عدد ناسلت در هر دو جریان کاهش پیدا می‌کند. این کاهش در جریان آرام بسیار کمتر از جریان مغشوش است؛ از سوی دیگر ضریب انتقال حرارت متناسب با عدد ناسلت و رسانایی حرارتی است. در جریان آرام، که میزان کاهش عدد ناسلت با کسر حجمی اندک است، افزایش رسانایی حرارتی منجر به افزایش ضریب انتقال حرارت می‌شود. درحالی‌که در جریان مغشوش کاهش شدید در عدد ناسلت با کسر حجمی، باعث کاهش ضریب انتقال حرارت می‌گردد. درنهایت، افزایش ضریب انتقال حرارت در جریان آرام باعث کاهش دمای فتوولتاییک و کاهش ضریب انتقال

جدول ۷ تغییرات ویژگی‌های نانوذرات در جریان آرام

شکل نانوذرات	کسر حجمی	ρ_{nf}	$c_{p,nf}$	μ_{nf}	k_{nf}	عدد رینولدز	عدد پرانتل	عدد ناسلت	ضریب انتقال حرارت ($\text{Wm}^{-2}\text{K}^{-1}$)
پلاکتی	٪۰	۱	۱	۱	۱	۱۵۷۰/۷۶۷	۲۸/۹۰۴	۱۷/۱۸۳	۲۱۲/۳۸۵
	٪۱	۰/۹۷۵	۰/۹۷۵	۱/۴۳۲	۱/۰۲۶	۱۰۹۷/۹۷۴	۳۹/۲۸۰	۱۶/۸۹۱	۲۱۴/۲۴۳
	٪۲	۱/۰۴۷	۰/۹۵۰	۱/۹۸۷	۱/۰۵۲	۷۹۲/۳۴۱	۵۱/۷۶۷	۱۶/۶۱۱	۲۱۶/۰۶۲
	٪۳	۱/۰۷۱	۰/۹۲۸	۲/۶۶۴	۱/۰۷۸	۵۹۱/۶۱۱	۶۶/۰۱۱	۱۶/۳۴۱	۲۱۷/۸۴۳
	٪۴	۱/۰۹۴	۰/۹۰۵	۳/۴۶۴	۱/۱۰۴	۴۰۵/۰۵۲	۸۱/۷۰۹	۱۶/۰۸۱	۲۱۹/۵۸۹
	٪۰	۱	۱	۱	۱	۱۵۷۰/۷۶۷	۲۸/۹۰۴	۱۷/۱۸۳	۲۱۲/۳۸۵
استوانه‌ای	٪۱	۱/۰۲۴	۰/۹۷۵	۱/۲۲۵	۱/۰۳۹	۱۲۸۳/۳۱۶	۳۳/۱۷۳	۱۶/۸۱۸	۲۱۶/۱۰۵

۲۱۹/۷۱۶	۱۶/۴۷۲	۴۱/۴۰۳	۹۶۴/۹۰۷	۱/۰۷۹	۱/۶۳۱	۰/۹۵۰	۱/۰۴۷	٪۰	تیغه‌ای
۲۲۳/۲۲۵	۱۶/۱۴۳	۵۲/۹۹۶	۷۱۰/۴۱۳	۱/۱۱۸	۲/۲۱۹	۰/۹۲۸	۱/۰۷۱	٪۳	
۲۲۶/۶۳۸	۱۵/۸۳۰	۶۷/۱۸۷	۵۲۸/۳۷۳	۱/۱۰۸	۲/۹۸۷	۰/۹۰۵	۱/۰۹۴	٪۴	
۲۱۲/۳۸۵	۱۷/۱۸۳	۲۸/۹۰۴	۱۵۷۰/۷۶۷	۱	۱	۱	۱	٪۰	
۲۱۴/۴۲۴	۱۶/۸۸۴	۳۱/۷۲۷	۱۳۵۷/۶۳۵	۱/۰۲۷	۱/۱۵۸	۰/۹۷۵	۱/۰۲۴	٪۱	
۲۱۶/۴۱۸	۱۶/۵۹۷	۳۴/۸۵۸	۱۱۷۳/۷۸۵	۱/۰۰۵	۱/۳۴۱	۰/۹۵۰	۱/۰۴۷	٪۲	
۲۱۸/۳۶۸	۱۶/۳۲۱	۳۸/۲۳۸	۱۰۱۷/۶۲۲	۱/۰۸۲	۲/۵۴۹	۰/۹۲۸	۱/۰۷۱	٪۳	
۲۲۰/۲۷۸	۱۶/۰۵۷	۴۱/۸۱۸	۸۸۵/۹۴۹	۱/۱۱۰	۲/۷۸۱	۰/۹۰۵	۱/۰۹۴	٪۴	
۲۱۲/۳۸۵	۱۷/۱۸۳	۲۸/۹۰۴	۱۵۷۰/۷۶۷	۱	۱	۱	۱	٪۰	آجری
۲۱۵/۳۰۰	۱۶/۸۴۹	۲۹/۰۲۳	۱۴۷۵/۰۹۰	۱/۰۳۴	۱/۰۶۶	۰/۹۷۵	۱/۰۲۴	٪۱	
۲۱۸/۱۳۸	۱۶/۵۳۱	۳۱/۴۹۶	۱۲۸۳/۷۶۵	۱/۰۶۷	۱/۲۲۶	۰/۹۵۰	۱/۰۴۷	٪۲	
۲۲۰/۹۰۴	۱۶/۲۲۸	۳۵/۹۳۱	۱۰۶۴/۳۷۲	۱/۱۰۱	۱/۴۸۱	۰/۹۲۸	۱/۰۷۱	٪۳	
۲۲۳/۶۰۱	۱۵/۹۳۷	۴۲/۰۰۰	۸۶۲/۵۱۷۹	۱/۱۳۵	۱/۸۳۰	۰/۹۰۵	۱/۰۹۴	٪۴	

جدول ۸ تغییرات ویژگی‌های نانوپیال با شکل و کسرهای حجمی مختلف نانوذرات در جریان مغشوش

ضریب انتقال حرارت ($\text{Wm}^{-2}\text{K}^{-1}$)	عدد ناسلت	عدد پرانتلز	عدد رینولدز	$\frac{k_{nf}}{k_{bf}}$	$\frac{\mu_{nf}}{\mu_{bf}}$	$\frac{c_{p,nf}}{c_{p,bf}}$	$\frac{\rho_{nf}}{\rho_{bf}}$	کسر حجمی	شکل نانوذرات
۲۰۶۵/۱۳۷	۱۷/۴۲۵	۳۰/۰۳۹	۱۲۶۰۲/۳۹	۱	۱	۱	۱	٪۰	پلاکتی
۱۶۷۷/۳۴۴	۱۳۲/۰۲۶	۴۰/۸۶۷	۸۸۰۰/۰۱	۱/۰۲۶	۱/۴۳۲	۰/۹۷۵	۱/۰۲۴	٪۱	
۱۳۶۵/۰۹۷	۱۰۵/۲۱۸	۵۲/۹۱۷	۶۳۴۳/۸۱۷	۱/۰۵۲	۱/۹۸۷	۰/۹۵۱	۱/۰۴۷	٪۲	
۱۱۱۴/۲۴۴	۸۳/۷۷۳	۶۸/۸۲۸	۴۷۳۱/۷۷۷	۱/۰۷۸	۲/۶۶۴	۰/۹۲۸	۱/۰۷۱	٪۳	
۹۰۷/۲۵۱	۶۶/۵۹۸	۸۰/۲۸۹	۳۶۳۹/۶۷۶	۱/۱۰۴	۳/۴۶۴	۰/۹۰۶	۱/۰۹۴	٪۴	
۲۰۶۵/۱۳۷	۱۷/۴۲۵	۳۰/۰۳۹	۱۲۶۰۲/۳۹	۱	۱	۱	۱	٪۰	استوانه‌ای
۱۸۶۱/۴۳۵	۱۴۵/۱۷۵	۳۴/۵۱۴	۱۰۲۸۵/۳۳	۱/۰۳۹	۱/۲۲۵	۰/۹۷۵	۱/۰۲۴	٪۱	
۱۵۸۲/۲۳۱	۱۱۸/۸۸۱	۴۳/۱۷۶	۷۷۲۵/۱۷۸	۱/۰۷۹	۱/۶۳۲	۰/۹۵۱	۱/۰۴۷	٪۲	
۱۳۰۵/۷۴	۹۶/۶۴۲	۵۰/۲۶۱	۵۶۸۱/۵۶۷	۱/۱۱۸	۲/۲۱۹	۰/۹۲۸	۱/۰۷۱	٪۳	
۱۰۰۹/۶۵	۷۶/۱۸۴	۷۰/۱۳۷	۴۲۲۱/۱۲۴	۱/۱۰۸	۲/۹۸۷	۰/۹۰۶	۱/۰۹۴	٪۴	
۲۰۶۵/۱۳۷	۱۷/۴۲۵	۳۰/۰۳۹	۱۲۶۰۲/۳۹	۱	۱	۱	۱	٪۰	تیغه‌ای
۱۹۱۰/۷۱۵	۱۵۰/۷۷۳	۲۲/۰۰۸	۱۰۸۸۱/۱۷	۱/۰۲۷	۱/۱۵۸	۰/۹۷۵	۱/۰۲۴	٪۱	
۱۷۶۳/۴۵۷	۱۳۵/۵۳۷	۳۶/۳۰۵	۹۳۹۸/۰۵۹	۱/۰۰۵	۱/۳۴۱	۰/۹۵۱	۱/۰۴۷	٪۲	
۱۶۲۵/۳۷۷	۱۲۱/۷۶۱	۲۹/۸۶۸	۸۱۳۹/۱۸۶	۱/۰۸۲	۱/۵۴۹	۰/۹۲۸	۱/۰۷۱	٪۳	
۱۴۹۷/۰۶۶	۱۰۹/۳۷۸	۴۳/۶۴۷	۷۰۷۸/۷۳۹	۱/۱۱۰	۱/۷۸۱	۰/۹۰۶	۱/۰۹۴	٪۴	
۲۰۶۵/۱۳۷	۱۷/۴۲۵	۳۰/۰۳۹	۱۲۶۰۲/۳۹	۱	۱	۱	۱	٪۰	آجری
۲۰۱۴/۷۳۲	۱۵۸/۰۰۴	۳۰/۱۹۵	۱۱۸۲۲/۵۹۰	۱/۰۳۳	۱/۰۶۶	۰/۹۷۵	۱/۰۲۴	٪۱	
۱۸۷۶/۵۴۴	۱۴۲/۵۲۶	۳۲/۸۰۳	۱۰۲۷۸/۴۵۰	۱/۰۶۷	۱/۲۲۶	۰/۹۵۱	۱/۰۴۷	٪۲	
۱۶۹۱/۱۴۶	۱۲۴/۵۱۳	۳۷/۴۶۴	۸۵۱۲/۹۳۶	۱/۱۰۱	۱/۴۸۱	۰/۹۲۸	۱/۰۷۱	٪۳	
۱۴۹۲/۰۲۸	۱۰۷/۶۲۵	۴۳/۸۴۰	۶۸۹۱/۱۸۳	۱/۱۳۵	۱/۸۳۰	۰/۹۰۶	۱/۰۹۴	٪۴	

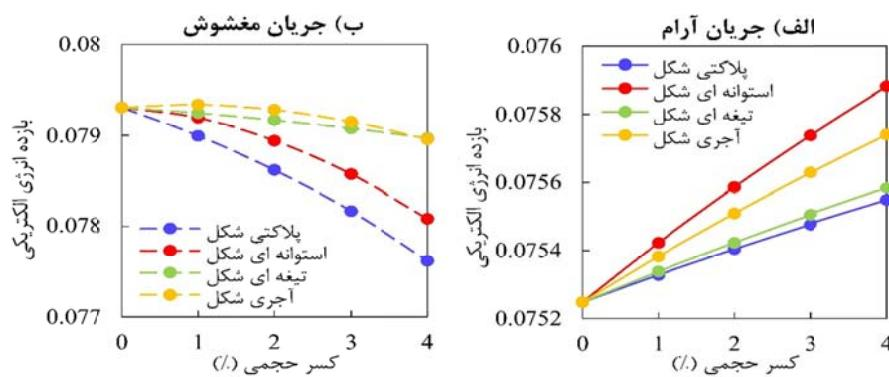
سطح فتوولتاییک، هنگام استفاده از آنها کمتر از سایر شکل‌ها بوده است.

بازده انرژی حرارتی به ظرفیت حرارتی و دمای خروجی بستگی دارد. همان‌طور که در شکل (۶) مشخص است، در جریان آرام که افزایش دمای خروجی شدیدتر از جریان مغشوش است، بازده انرژی حرارتی افزایش می‌یابد؛ اما در جریان مغشوش، کاهش ظرفیت حرارتی با افزایش کسر حجمی باعث کاهش بازده انرژی حرارتی می‌شود.

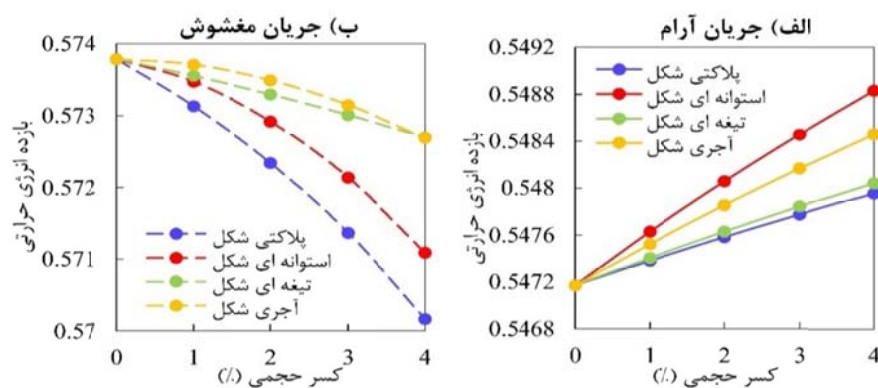
در جریان آرام، نانوسیال حاوی نانوذره استوانه‌ای و در جریان مغشوش نانوسیال دارای نانوذرات آجری و تیغه‌ای شکل به دلیل داشتن دمای خروجی بالاتر در مقایسه با سایر شکل‌های نانوذرات، بازده انرژی حرارتی بزرگ‌تری را بروز می‌دهند.

شکل‌های (۵-۷) تغییرات بازده انرژی الکتریکی، حرارتی و کلی و شکل‌های (۸-۱۰) تغییرات بازده اگرژی الکتریکی، حرارتی و کلی را برای شکل‌های مختلف نانوذرات اکسید الومینیوم در سیال پایه اتیلن گلیکول: آب و در بازه کسر حجمی صفر تا چهار درصد نشان می‌دهند. به دلیل کاهش دمای فتوولتاییک در جریان آرام، بازده انرژی و اگرژی الکتریکی افزایش پیدا می‌کنند ولی در جریان مغشوش در اثر افزایش دمای فتوولتاییک با افزایش کسر حجمی، بازده انرژی و اگرژی الکتریکی کاهش پیدا می‌کنند (شکل‌های ۵ و ۸).

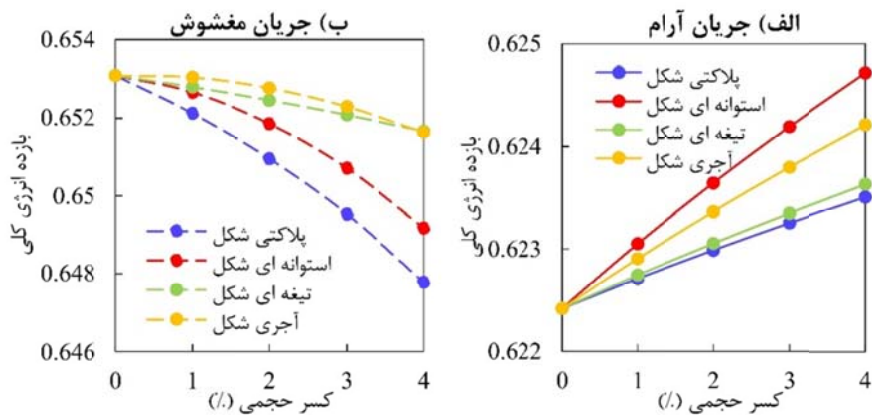
در جریان آرام نانوسیال با نانوذره استوانه‌ای و در جریان مغشوش نانوسیال با نانوذرات آجری و تیغه‌ای شکل بازده انرژی و اگرژی الکتریکی بزرگ‌تری در مقایسه با سایر نانوذرات دارند؛ زیرا دمای



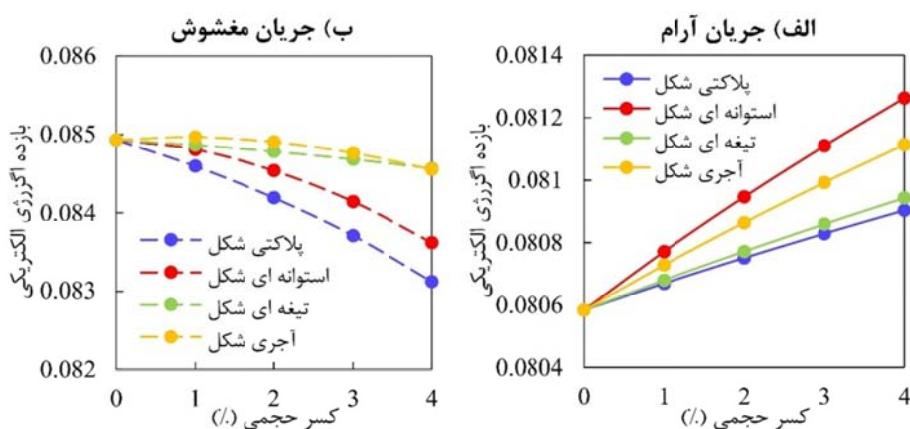
شکل ۵ تغییرات بازده انرژی الکتریکی با کسر حجمی و شکل نانوذرات متفاوت برای جریان الف: آرام، ب: مغشوش



شکل ۶ تغییرات بازده انرژی حرارتی با کسر حجمی و شکل نانوذرات متفاوت برای جریان الف: آرام، ب: مغشوش



شکل ۷ تغییرات بازده انرژی کلی با کسر حجمی و شکل نانوذرات متفاوت برای جریان الف: آرام، ب: مغشوش

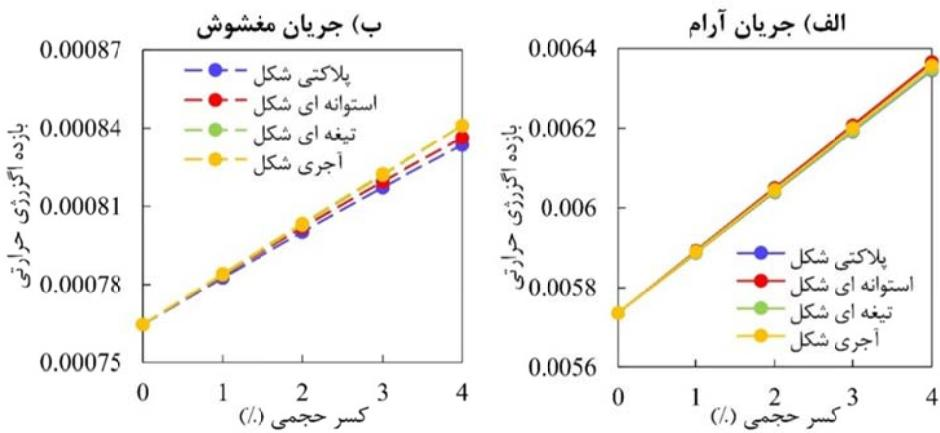


شکل ۸ تغییرات بازده اگزرزی الکتریکی با کسر حجمی و شکل نانوذرات متفاوت برای جریان الف: آرام، ب: مغشوش

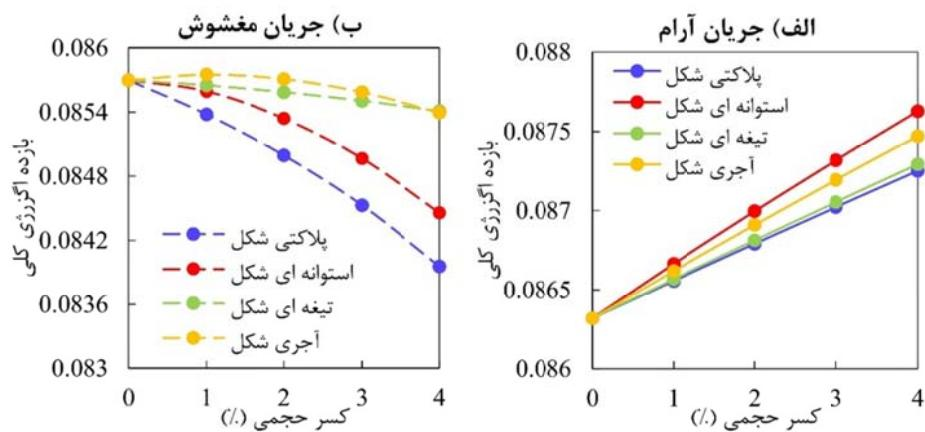
آرام و نانوذرات آجری شکل در جریان مغشوش بالاترین بازده انرژی را دارا می‌باشند. بازده اگزرزی کل در جریان آرام به علت افزایش بازده اگزرزی الکتریکی و حرارتی افزایش می‌یابد (شکل ۱۰). در جریان مغشوش بازده اگزرزی کل برای نانوذرات پلاکتی، استوانه‌ای و تیغه‌ای شکل در اثر کاهش بازده اگزرزی الکتریکی کاهش می‌یابند؛ ولی برای نانوذره آجری شکل که بیشترین بازده اگزرزی الکتریکی و حرارتی را در جریان مغشوش دارد، تقابل اثر کاهشی بازده اگزرزی الکتریکی و اثر افزایشی بازده اگزرزی حرارتی باعث افزایش بازده اگزرزی تا کسر حجمی ۱٪ و سپس کاهش آن می‌شود.

بازده اگزرزی حرارتی بیشتر متاثر از دمای خروجی است و با افزایش کسر حجمی در هر دو جریان آرام و مغشوش افزایش می‌یابد (شکل ۹). روند تغییرات بازده اگزرزی حرارتی برای شکل‌های مختلف نانوذره با کسر حجمی، مشابه با روند تغییرات دمای خروجی است.

باتوجه به شکل (۷)، افزایش بازده انرژی الکتریکی و حرارتی در جریان آرام منجر به افزایش بازده انرژی کل بر حسب افزایش کسر حجمی می‌شود، در حالی که در جریان مغشوش به علت کاهش بازده انرژی الکتریکی و حرارتی، بازده انرژی کل کاهش پیدا می‌کند. نانوذرات استوانه‌ای شکل در جریان



شکل ۹ تغییرات بازده اگررژی حرارتی با کسر حجمی و شکل نانوذرات متفاوت برای جریان الف: آرام، ب: مغشوش



شکل ۱۰ تغییرات بازده اگررژی کل با کسر حجمی و شکل نانوذرات متفاوت برای جریان الف: آرام، ب: مغشوش

- در جریان آرام کاهش و در جریان مغشوش افزایش می‌باید، ولی دمای سیال خروجی در هر دو جریان با افزایش کسر حجمی افزایش پیدا می‌کند.
- کمترین دمای فتوولتایک در جریان آرام مربوط به نانوذره استوانه‌ای شکل و در جریان مغشوش به نانوذره آجری شکل است.
- در جریان آرام، شکل نانوذرات اکسید آلمینیوم بر دمای خروجی اثر چندانی ندارد، اما در جریان مغشوش، نانوسیال حاوی نانوذرات تیغه‌ای و آجری دمای خروجی بیشتری را نتیجه می‌دهند.

جمع‌بندی

در این پژوهش یک سیستم فتوولتایک/حرارتی با مرکز کننده سهموی خطی مدل‌سازی شد. اثر استفاده از نانوسیال اکسید آلمینیوم/اتیلن گلیکول: آب ۵۰:۵۰ بر دمای فتوولتایک، دمای سیال خروجی، بازده انرژی و بازده اگررژی سیستم، مورد ارزیابی قرار گرفت. همچنین اثر غلظت و شکل نانوذرات با به کارگیری نانوذرات پلاکتی، استوانه‌ای، تیغه‌ای و آجری شکل در کسرهای حجمی یک تا چهار درصد مطالعه شد. خلاصه نتایج این بررسی به شرح زیر است:

- با افزایش کسر حجمی نانوذرات دمای فتوولتایک

عرض (m)	w	بازده انرژی کل در جریان آرام افزایش و در جریان مغشوش کاهش پیدا می کند.
علام بونانی		
ضریب جذب	α	بازده اگزرژی کل در جریان آرام افزایش می یابد در حالی که در جریان مغشوش بازده اگزرژی کل برای نانوذرات پلاکتی، استوانه ای و تیغه ای شکل کاهش می یابد، ولی برای نانوذره آجری شکل شاهد افزایش بازده اگزرژی تا کسر حجمی ۱٪ و سپس کاهش آن هستیم.
ضریب دمایی در شرایط مرجع	β_r	
عامل ممانعت	γ_t	استفاده از نانوذرات استوانه ای شکل در جریان آرام و نانوذرات آجری شکل در جریان مغشوش منجر به حداکثر بازده انرژی و اگزرژی می شود.
ضریب انعکاس، چگالی (kgm ⁻³)	ρ	
بازده	η	
بازده سلول خورشیدی در شرایط مرجع	η_r	
ثابت استفان بولتزمن (Wm ⁻² K ⁻⁴)	σ	
ضریب عبور	τ	
شیب کلکتور	θ	
کسر حجمی	φ	
زیرنویس ها		
لایه هوا	a	مساحت (m ²) A
جادب حرارتی	abs	نسبت تمرکز CR
چسب رسانای حرارتی	adh	قطر (m) D
اتصال لوله	b	ضریب اصطکاک f
سیال پایه	bf	ضریب انتقال حرارت جابه جایی (Wm ⁻² K ⁻¹) h _c
متمرکز کننده	con	ضریب انتقال حرارت تابشی (Wm ⁻² K ⁻¹) h _r
لایه عایق	i	شدت تابش ورودی مستقیم (Wm ⁻²) I _B
نانوسیال	nf	طول سیستم (m) L
نانوذره	np	دبی جرمی (kgs ⁻¹) \dot{m}
صفحه فتوولتاییک	PV	عدد ناسلت Nu
فتولتاییک/ حرارتی	PV/T	ضریب فشردگی pa
فتولتاییک/ حرارتی با متمرکز کننده	CPV/T	فشار (Pa) P
لوله	t	عدد پرائل Pr
سیال عامل انتقال حرارت	w	عدد رینولدز Re
		دما (K) T

فهرست علام

علام انگلیسی

مساحت (m ²)	A
نسبت تمرکز	CR
قطر (m)	D
ضریب اصطکاک	f
ضریب انتقال حرارت جابه جایی (Wm ⁻² K ⁻¹)	h _c
ضریب انتقال حرارت تابشی (Wm ⁻² K ⁻¹)	h _r
شدت تابش ورودی مستقیم (Wm ⁻²)	I _B
طول سیستم (m)	L
دبی جرمی (kgs ⁻¹)	\dot{m}
عدد ناسلت	Nu
ضریب فشردگی	pa
فشار (Pa)	P
عدد پرائل	Pr
عدد رینولدز	Re
دما (K)	T

مراجع

1. Najafi, G., Ghobadian, B., Mamat, R., Yusaf, T. and Azmi, W., "Solar energy in Iran: Current state and outlook", *Renewable and Sustainable Energy Reviews*, Vol. 49, pp. 931-942, (2015) .
2. Shafiee, S. and Topal, E., "When will fossil fuel reserves be diminished?", *Energy policy*, Vol. 37, No. 1, pp. 181-189, (2009) .
3. Makki, A., Omer, S. and Sabir, H., "Advancements in hybrid photovoltaic systems for enhanced solar cells performance", *Renewable and Sustainable Energy Reviews*, Vol. 41, No. 0, pp. 658-684, (2015) .
4. Saharaf, O.Z. and Orhan, M.F., "Concentrated photovoltaic thermal (CPVT) solar collector systems: Part I—Fundamentals, design considerations and current technologies", *Renewable and Sustainable Energy Reviews*, Vol. 50, pp. 1500-1565, (2015) .
5. Saharaf, O.Z. and Orhan, M.F., "Concentrated photovoltaic thermal (CPVT) solar collector systems: Part II—Implemented systems, performance assessment, and future directions", *Renewable and Sustainable Energy Reviews*, Vol. 50, pp. 1566-1633, (2015) .
6. Coventry, J.S., "Performance of a concentrating photovoltaic/thermal solar collector", *Solar Energy*, Vol. 78, No. 2, pp. 211-222, (2005) .
7. Li, M., Ji, X., Li, G., Wei, S., Li, Y. and Shi, F., "Performance study of solar cell arrays based on a trough concentrating photovoltaic/thermal system", *Applied Energy*, Vol. 88, No. 9, pp. 3218-3227, (2011) .
8. Li, M., Ji, X., Li, G., Yang, Z., Wei, S. and Wang, L., "Performance investigation and optimization of the Trough Concentrating Photovoltaic/Thermal system", *Solar Energy*, Vol. 85, No. 5, pp. 1028-1034, (2011) .
9. Ji, X., Li, M., Lin, W., Wang, W., Wang, L. and Luo, X., "Modeling and characteristic parameters analysis of a trough concentrating photovoltaic/thermal system with GaAs and super cell arrays", *International Journal of Photoenergy*, Vol. 2012, (2012) .
10. Calise, F., Palombo, A., and Vanoli, L., "A finite-volume model of a parabolic trough photovoltaic/thermal collector :Energetic and exergetic analyses", *Energy*, Vol. 46, No. 1, pp. 283-294, (2012) .
11. Chaabane, M. ,Charfi, W., Mhiri, H and Bournot, P., "Performance evaluation of concentrating solar photovoltaic and photovoltaic/thermal systems", *Solar Energy*, Vol. 98, pp. 315-321, (2013) .
12. Del Col, D., Bortolato, M., Padovan, A. and Quaggia, M., "Experimental and numerical study of a parabolic trough linear CPVT system", *Energy Procedia*, Vol. 57, pp. 255-264, (2014) .
13. Mahian, O., Kianifar, A., Kalogirou, S.A., Pop, I. and Wongwises, S., "A review of the applications of nanofluids in solar energy", *International Journal of Heat and Mass Transfer*, Vol. 57, No. 2, pp. 582-594, (2013) .
14. Mahian, O., Kianifar, Kleinstreuer, C., Al-Nimr, M.A, A., Kalogirou, Pop, I., Sahin, A.Z. and Wongwises, S., "A review of entropy generation in nanofluid flow", *International Journal of Heat and Mass Transfer*, Vol. 65, pp. 514-532, (2013) .
15. Cui, Y. and Zhu, Q., "Study of Photovoltaic/Thermal Systems with MgO-Water Nanofluids Flowing

- over Silicon Solar Cells", *In Proceedings of Asia-Pacific Power and Energy Engineering Conference (APPEEC)*, Shanghai, China (2012) .
16. Sardarabadi, M., Passandideh-Fard, M. and Heris, S.Z., "Experimental investigation of the effects of silica/water nanofluid on PV/T (photovoltaic thermal units)", *Energy*, Vol. 66, pp. 264-272, (2014) .
 17. Karami, N. and Rahimi, M., "Heat transfer enhancement in a hybrid microchannel-photovoltaic cell using Boehmite nanofluid", *International Communications in Heat and Mass Transfer*, Vol. 55 ,pp. 45-52, (2014) .
 18. Sardarabadi, M. and Passandideh-Fard, M., "Experimental and numerical study of metal-oxides/water nanofluids as coolant in photovoltaic thermal systems (PVT)", *Solar Energy Materials and Solar Cells*, Vol. 157, pp. 533-542, (2016) .
 19. Rejeb, O., Sardarabadi, M., Ménézo, C., Passandideh-Fard, M., Dhaou, M.H. and Jemni, A., "Numerical and model validation of uncovered nanofluid sheet and tube type photovoltaic thermal solar system", *Energy Conversion and Management*, Vol. 110, pp. 367-377, (2016) .
 20. Xu, Z. and Kleinstreuer, C., "Concentration photovoltaic–thermal energy co-generation system using nanofluids for cooling and heating", *Energy Conversion and Management*, Vol. 87, pp. 504-512, (2014) .
 21. Xu, Z. and Kleinstreuer, C., "Computational analysis of nanofluid cooling of high concentration photovoltaic cells", *Journal of Thermal Science and Engineering Applications*, Vol. 6, No. 3, pp. 031009-031009-9, (2014) .
 22. Jing, D., Hu, Y., Liu, M., Wei, J. and Guo, L., "Preparation of highly dispersed nanofluid and CFD study of its utilization in a concentrating PV/T system", *Solar Energy*, Vol. 112, pp. 30-40, (2015) .
 23. Radwan, A., Ahmed, M. and Ookawara, S., "Performance enhancement of concentrated photovoltaic systems using a microchannel heat sink with nanofluids", *Energy Conversion and Management*, Vol. 119, pp. 289-303, (2016) .
 24. Yazdanifard, F., Ebrahimnia-Bajestan, E. and Ameri, M., "Investigating the performance of a water-based photovoltaic/thermal (PV/T) collector in laminar and turbulent flow regime", *Renewable Energy*, Vol. 99, pp. 295-306, (2016) .
 25. Pak, B.C. and Cho, Y.I., "Hydrodynamic and heat transfer study of dispersed fluids with submicron metallic oxide particles", *Experimental Heat Transfer an International Journal*, Vol. 11, No. 2, pp. 151-170, (1998) .
 26. Xuan, Y. and Roetzel, W., "Conceptions for heat transfer correlation of nanofluids", *International Journal of Heat and Mass Transfer*, Vol. 43, No. 19, pp. 3701-3707, (2000) .
 27. Timofeeva, E.V., Routbort, J.L. and Singh, D., "Particle shape effects on thermophysical properties of alumina nanofluids", *Journal of Applied Physics*, Vol. 106, No. 1, pp. 014304, (2009) .
 28. Mahian, O., Kianifar, A., Heris, S. Z. and Wongwises, S., "First and second laws analysis of a minichannel-based solar collector using boehmite alumina nanofluids: effects of nanoparticle shape and tube materials", *International Journal of Heat and Mass Transfer*, Vol. 78, pp. 1166-1176, (2014) .
 29. Shah, R.K., London, A.L., Irvine, T.F. and Hartnett, J.P., "Laminar Flow Forced Convection in Ducts: A Source Book for Compact Heat Exchanger Analytical Data", *Elsevier Science*, (2014) .

-
30. Bergman, T.L., Lavine, A.S. and Incropera, F.P., "Fundamentals of Heat and Mass Transfer, 7th Edition", John Wiley & Sons, New York, (2011).